

Ю. О. Тітов¹, Н. М. Білявина¹,
член-кореспондент НАН України **М. С. Слободянік¹, В. В. Чумак²**

¹Київський національний університет ім. Тараса Шевченка

²Житомирський державний університет ім. Івана Франка

E-mail: tit@univ.kiev.ua

Кристалічна структура ізовалентно заміщених шаруватих іннатів $Ba_{1-x}Sr_xLa_2In_2O_7$

Встановлено умови ізовалентного заміщення атомів Ba в шаруватій перовськітоподібній структурі (ШПС) $BaLa_2In_2O_7$ по типу $Ba_{1-x}Sr_xLa_2In_2O_7$ ($0 \leq x \leq 0,75$). Методом рентгенівської дифракції на порошку визначено ШПС іннатів $Ba_{1-x}Sr_xLa_2In_2O_7$ ($x = 0,2, 0,5$ і $0,7$). Установлено належність ШПС $Ba_{1-x}Sr_xLa_2In_2O_7$ до структурного типу $SrLa_2Sc_2O_7$ (пр. гр. Fmmm) та виявлено взаємозв'язки склад — будова ШПС. Показано, що збільшення вмісту стронцію в ШПС $Ba_{1-x}Sr_xLa_2In_2O_7$ підвищує ступінь деформації міжблочних поліедрів AO_9 і зменшує довжину міжблочної відстані $A(2)-O(2)$ в ШПС $Ba_{1-x}Sr_xLa_2In_2O_7$.

Ключові слова: шарувата перовськітоподібна структура, ізоморфне заміщення, порошкова рентгенівська дифракція.

Серед представників сімейства Руддлесдена–Поппера загального складу $A_{n+1}B_nO_{3n+1}$ із шаруватою перовськітоподібною структурою (ШПС) особливу увагу привертають сполуки зі значною розмірною невідповідністю A- і B-підграток їх ШПС [1, 2], оскільки більшість властивостей оксидних функціональних матеріалів обумовлена деформацією їх кристалічної структури. До таких сполук належать нечисленні іннати загального складу $A^{II}Ln_nIn_nO_{3n+1}$ [3], в A-позиції ШПС яких знаходяться катіони лужноземельних металів та РЗЕ, а у B-позиції ШПС розташовані великі катіони In^{3+} .

Одним із шляхів регулювання властивостей сполук типу $A_{n+1}B_nO_{3n+1}$ є ізоморфні заміщення атомів в їх ШПС. На сьогодні досить детально встановлена протяжність областей з ШПС в рядах одно- і двошарових сполук типу $A^{II}Ln_nB_n^{III}O_{3n+1}$ залежно від розмірів атомів РЗЕ [3], тоді як дані щодо меж ізовалентного заміщення атомів лужноземельних металів в їх ШПС практично відсутні.

Мета даної роботи — визначення умов ізовалентного заміщення атомів Ba в ШПС $BaLa_2In_2O_7$ по типу $Ba_{1-x}Sr_xLa_2In_2O_7$ та дослідження його впливу на особливості будови двошарової ШПС іннатів $Ba_{1-x}Sr_xLa_2In_2O_7$.

Полікристалічні зразки $Ba_{1-x}Sr_xLa_2In_2O_7$ одержано послідовною термообробкою (1170 К 5 год, 1570 К 3 + 3 год) спільнозакристалізованих солей. Як вихідні речовини використовувалися: $La(NO_3)_3$, $In(NO_3)_3$, $Sr(NO_3)_2$ та $BaAc_2$ марок "хч" і "чда". Рентгенівські дифракційні спектри записано на дифрактометрі ДРОН-3 у дискретному режимі (крок сканування $0,03^\circ$, експозиція в точці 5 с) на мідному фільтрованому випромінюванні. Управління процесом зйомки та збором інформації, початкова обробка дифрактограм, а також структурні розрахунки виконано з використанням апаратно-програмного комплексу [4].

© Ю. О. Тітов, Н. М. Білявина, М. С. Слободянік, В. В. Чумак, 2016

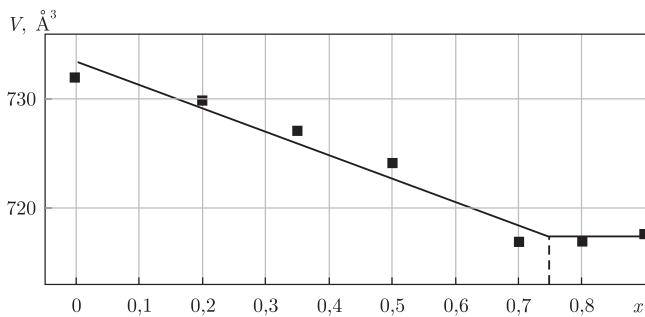


Рис. 1. Залежність об'єму елементарної комірки ШПС $\text{Ba}_{1-x}\text{Sr}_x\text{La}_2\text{In}_2\text{O}_7$ від ступеня заміщення атомів Ва (значення x)

Дослідження меж ізовалентного заміщення атомів Ва на атоми Sr в ШПС $\text{BaLa}_2\text{In}_2\text{O}_7$ по типу $\text{Ba}_{1-x}\text{Sr}_x\text{La}_2\text{In}_2\text{O}_7$ показало існування широкої ($0 \leq x \leq 0,75$) області фаз з ШПС (рис. 1). Лінійний характер залежності $V = f(x)$ дає підставу розглядати їх як обмежений ряд твердих розчинів з ШПС.

За об'єкти дослідження впливу ізовалентного заміщення атомів лужноземельного металу на особливості будови ШПС були вибрані фази складу $\text{Ba}_{1-x}\text{Sr}_x\text{La}_2\text{In}_2\text{O}_7$ з $x = 0,2, 0,5$ і $0,7$. Дифрактограмами $\text{Ba}_{0,8}\text{Sr}_{0,2}\text{La}_2\text{In}_2\text{O}_7$, $\text{Ba}_{0,5}\text{Sr}_{0,5}\text{La}_2\text{In}_2\text{O}_7$ та $\text{Ba}_{0,3}\text{Sr}_{0,7}\text{La}_2\text{In}_2\text{O}_7$ виявилися подібними до дифрактограм двошарових $\text{BaLa}_2\text{In}_2\text{O}_7$ (пр. гр. $P4_2/mnm$ [5]) та $\text{SrLa}_2\text{Sc}_2\text{O}_7$ (пр. гр. $Fm\bar{m}m$ [6]), а їх індексування показало належність ШПС $\text{Ba}_{1-x}\text{Sr}_x\text{La}_2\text{In}_2\text{O}_7$ ($x = 0,5$ і $0,7$) до ромбічної сингонії. Систематика погасань відбиттів на їх дифрактограмах відповідає центросиметричній просторовій групі $Fm\bar{m}m$. Дифрактограма $\text{Ba}_{0,8}\text{Sr}_{0,2}\text{La}_2\text{In}_2\text{O}_7$ ($x = 0,2$), аналогічно дифрактограмі незаміщеного індуату $\text{BaLa}_2\text{In}_2\text{O}_7$, задовільно індексується в тетрагональній сингонії. Проте подальші структурні розрахунки показали належність ШПС $\text{Ba}_{0,8}\text{Sr}_{0,2}\text{La}_2\text{In}_2\text{O}_7$ до ромбічної сингонії, а різниця в величинах періодів a і b її ШПС, очевидно, менша точності їх визначення (0,003 Å).

Первинну оцінку координатних параметрів атомів для початкових моделей $\text{Ba}_{1-x}\text{Sr}_x\text{La}_2\text{In}_2\text{O}_7$ ($x = 0,2, 0,5$ і $0,7$) проведено за відомими структурними даними для $\text{SrLa}_2\text{Sc}_2\text{O}_7$ (пр. гр. $Fm\bar{m}m$) [6]. Зіставлення експериментальних і розрахованих інтенсивностей відбиттів для запропонованих моделей структури $\text{Ba}_{1-x}\text{Sr}_x\text{La}_2\text{In}_2\text{O}_7$ із статистичним розподілом атомів Ва, Sr та La по А-позиціях ШПС показало їх задовільну збіжність.

Результати уточнення координатних та теплових параметрів структур ізовалентно заміщених індуатів $\text{Ba}_{1-x}\text{Sr}_x\text{La}_2\text{In}_2\text{O}_7$ та інші структурні дані наведені в табл. 1 і 2 та на рис. 2. Уточнений при розрахунку структури склад цих зразків у межах похиби визначення відповідає експериментально заданому.

Згідно з [5], розподіл атомів Ва та La у ШПС вихідного індуату $\text{BaLa}_2\text{In}_2\text{O}_7$ є повністю впорядкованим із локалізацією великих атомів Ва в центрі блока в поліедрах BaO_{12} , а менших атомів La на межі блока в поліедрах LaO_9 . Враховуючи вищевказане, нами було проведено також уточнення початкових моделей ШПС ізовалентно заміщених фаз $\text{Ba}_{1-x}\text{Sr}_x\text{La}_2\text{In}_2\text{O}_7$ із впорядкованим розподілом атомів Ва та Sr лише в центрі первовські-топодібного блока (поліедр $\text{A}^{II}\text{O}_{12}$, позиція 4b), а атомів La на границях блока (поліедр LaO_9 , позиція 8i).

Зіставлення значень одержаних факторів недостовірності для обох типів моделей будови ШПС ізовалентно заміщених фаз $\text{Ba}_{1-x}\text{Sr}_x\text{La}_2\text{In}_2\text{O}_7$ ($x = 0,2, 0,5$ і $0,7$) показало, що

Таблиця 1. Кристалографічні дані $\text{Ba}_{0,3}\text{Sr}_{0,7}\text{La}_2\text{In}_2\text{O}_7$, $\text{Ba}_{0,5}\text{Sr}_{0,5}\text{La}_2\text{In}_2\text{O}_7$ та $\text{Ba}_{0,8}\text{Sr}_{0,2}\text{La}_2\text{In}_2\text{O}_7$ (пр. гр. $Fmmmm$)

| Позиція | Атом | $\text{Ba}_{0,3}\text{Sr}_{0,7}\text{La}_2\text{In}_2\text{O}_7$ | | | $\text{Ba}_{0,5}\text{Sr}_{0,5}\text{La}_2\text{In}_2\text{O}_7$ | | | $\text{Ba}_{0,8}\text{Sr}_{0,2}\text{La}_2\text{In}_2\text{O}_7$ | | | |
|--------------------------------------|-------|--|------|-----------|--|------|-----------|--|-----|------|------------|
| | | X | Y | Z | X | Y | Z | X | Y | Z | Заповнення |
| 4b | Ba(1) | 0 | 0 | 0,5 | 0,100 | 0 | 0,5 | 0,167 | 0 | 0 | 0,5 |
| 4b | Sr(1) | 0 | 0 | 0,5 | 0,233 | 0 | 0,5 | 0,167 | 0 | 0 | 0,5 |
| 4b | La(1) | 0 | 0 | 0,5 | 0,667 | 0 | 0,5 | 0,666 | 0 | 0 | 0,5 |
| 8i | Ba(2) | 0 | 0 | 0,3135(3) | 0,100 | 0 | 0,3153(3) | 0,167 | 0 | 0 | 0,3193(3) |
| 8i | Sr(2) | 0 | 0 | 0,3135(3) | 0,233 | 0 | 0,3153(3) | 0,167 | 0 | 0 | 0,3193(3) |
| 8i | La(2) | 0 | 0 | 0,3135(3) | 0,667 | 0 | 0,3153(3) | 0,666 | 0 | 0 | 0,3193(3) |
| 8i | In | 0 | 0 | 0,0975(2) | 1 | 0 | 0,1005(2) | 1 | 0 | 0 | 0,1063(2) |
| 4a | O(1) | 0 | 0 | 0 | 1 | 0 | 0 | 1 | 0 | 0 | 1 |
| 8i | O(2) | 0 | 0 | 0,210(2) | 1 | 0 | 0,208(2) | 1 | 0 | 0 | 0,206(2) |
| 16j | O(3) | 0,25 | 0,25 | 0,107(2) | 1 | 0,25 | 0,25 | 0,107(2) | 1 | 0,25 | 0,108(2) |
| Періоди кристалічної гратки, Å | | | | | | | | | | | |
| | | $a = 5,882(2)$ | | | $a = 5,918(1)$ | | | $a = 5,900(3)$ | | | |
| | | $b = 5,872(2)$ | | | $b = 5,887(2)$ | | | $b = 5,900(3)$ | | | |
| | | $c = 20,753(8)$ | | | $c = 20,787(4)$ | | | $c = 20,96(1)$ | | | |
| Фактор недостовірності | | | | | | | | | | | |
| Незаджні відбиття | | $R_B = 0,060$ | | | $R_B = 0,065$ | | | $R_B = 0,065$ | | | |
| | | $R_0 = 0,018$ | | | $R_0 = 0,026$ | | | $R_0 = 0,024$ | | | |
| Загальний ізотропний | | | | | | | | | | | |
| Загальний B фактор, Å ² | | 93 | | | 94 | | | 94 | | | |
| Загальний B фактор, Å ² | | | | | | | | | | | |
| | | 0,94(5) | | | 0,88(6) | | | 0,28(5) | | | |

Таблиця 2. Міжатомні відстані (\AA) та ступінь деформації поліедрів MeO_n (Δ) в IIIС $\text{SrLa}_2\text{Sc}_2\text{O}_7$ [6], $\text{Ba}_{0,3}\text{Sr}_{0,7}\text{La}_2\text{In}_2\text{O}_7$, $\text{Ba}_{0,5}\text{Sr}_{0,5}\text{La}_2\text{In}_2\text{O}_7$, $\text{Ba}_{0,8}\text{Sr}_{0,2}\text{La}_2\text{In}_2\text{O}_7$ і $\text{BaLn}_2\text{In}_2\text{O}_7$ [5]

| | $\text{SrLa}_2\text{Sc}_2\text{O}_7$ (пр. гр. $Fmmn$) | $\text{Ba}_{0,3}\text{Sr}_{0,7}\text{La}_2\text{In}_2\text{O}_7$ (пр. гр. $Fmmn$) | $\text{Ba}_{0,5}\text{Sr}_{0,5}\text{La}_2\text{In}_2\text{O}_7$ (пр. гр. $Fmmn$) | $\text{Ba}_{0,8}\text{Sr}_{0,2}\text{La}_2\text{In}_2\text{O}_7$ (пр. гр. $Fmmn$) |
|---|---|---|---|---|
| Поліедр $(0,59\text{Sr} + 0,41\text{La})(1)\text{O}_{12}$ | Поліедр $A(1)\text{O}_{12}$ | Поліедр $A(1)\text{O}_{12}$ | Поліедр $A(1)\text{O}_{12}$ | Поліедр $Ba\text{O}_{12}$ |
| $(0,59\text{Sr} + 0,41\text{La})(1)-\text{O}_{sep}$ | $2,95$ | $A(1)-\text{O}_{sep}$ $3,01$ | $A(1)-\text{O}_{sep}$ $3,02$ | $A(1)-\text{O}_{sep}$ $3,04$ |
| Δ | $3 \cdot 10^{-4}$ | Δ $2 \cdot 10^{-4}$ | Δ $2 \cdot 10^{-4}$ | Δ $4 \cdot 10^{-4}$ |
| Поліедр $(0,21\text{Sr} + 0,79\text{La})(2)\text{O}_9$ | Поліедр $A(2)\text{O}_9$ | Поліедр $A(2)\text{O}_9$ | Поліедр $A(2)\text{O}_9$ | Поліедр LaO_9 |
| $(0,21\text{Sr} + 0,79\text{La})(2)-\text{O}_{sep}$ | $2,70$ | $A(2)-\text{O}_{sep}$ $2,74$ | $A(2)-\text{O}_{sep}$ $2,75$ | $A(2)-\text{O}_{sep}$ $2,74$ |
| Міжблочна відстань | $2,22(2)$ | Міжблочна відстань $2,15(2)$ | Міжблочна відстань $2,23(2)$ | Міжблочна відстань $2,38(2)$ |
| Δ | $68 \cdot 10^{-4}$ | Δ $90 \cdot 10^{-4}$ | Δ $81 \cdot 10^{-4}$ | Δ $74 \cdot 10^{-4}$ |
| Поліедр ScO_6 | Поліедр InO_6 | Поліедр InO_6 | Поліедр InO_6 | Поліедр InO_6 |
| $\text{Sc}-\text{O}_{sep}$ | $2,07$ | $\text{In}-\text{O}_{sep}$ $2,12$ | $\text{In}-\text{O}_{sep}$ $2,12$ | $\text{In}-\text{O}_{sep}$ $2,11$ |
| Δ | $5 \cdot 10^{-4}$ | Δ $21 \cdot 10^{-4}$ | Δ $7 \cdot 10^{-4}$ | Δ $6 \cdot 10^{-4}$ |

Примітка. Ступінь деформації поліедрів MeO_n у кристалічній структурі сполук типу $\text{A}_{n+1}\text{B}_n\text{O}_{3n+1}$ розраховано за формулого $\Delta = 1/n \sum [(R_i - \bar{R})/\bar{R}]^2$ (R_i – відстань $\text{Me}-\text{O}$, \bar{R} – середня відстань $\text{Me}-\text{O}$, n – координатне число) [7].

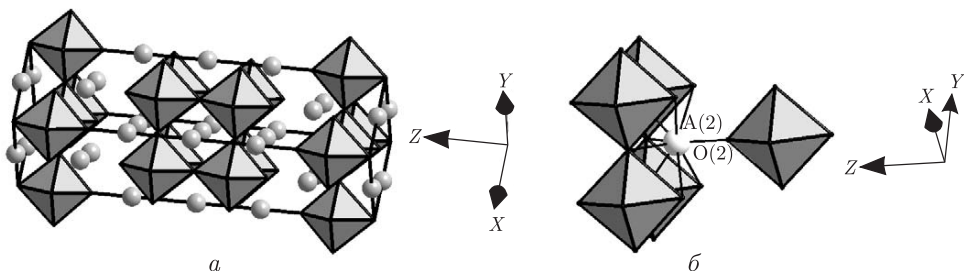


Рис. 2. Кристалічна структура $\text{Ba}_{0.8}\text{Sr}_{0.2}\text{La}_2\text{In}_2\text{O}_7$ у вигляді октаедрів InO_6 та атомів типу А (Ba, Sr, La) (а) та будова міжблочної границі (поліедр AO_9) в ШПС $\text{Ba}_{0.3}\text{Sr}_{0.7}\text{La}_2\text{In}_2\text{O}_7$ (б)

значення R_B дуже близькі і відрізняються один від одного на 0,001–0,006. Такий підхід не дав обґрунтованих підстав для однозначного вибору способу розподілу атомів Ba, Sr та La в ШПС фаз $\text{Ba}_{1-x}\text{Sr}_x\text{La}_2\text{In}_2\text{O}_7$.

Кристалічна структура $\text{Ba}_{1-x}\text{Sr}_x\text{La}_2\text{In}_2\text{O}_7$ ($x = 0.2, 0.5$ і 0.7) є шаровою і утворена двовимірними (нескінченими в напрямках осей X і Y) первовськітоподібними блоками, кожен з яких складається з двох шарів деформованих октаедрів InO_6 (див. рис. 2, а). Октаедри InO_6 з'єднані тільки вершинами, причому кожний октаедр має п'ять спільніх вершин із суміжними октаедрами одного і того ж блока. В напрямку діагоналі площини XY сусідні блоки зміщені один відносно іншого на половину ребра первовськітого куба і чергуються один з одним.

Безпосередній зв'язок між октаедрами InO_6 сусідніх первовськітоподібних блоків в ШПС $\text{Ba}_{1-x}\text{Sr}_x\text{La}_2\text{In}_2\text{O}_7$ відсутній. Блоки розділені шаром поліедрів AO_9 і утримуються разом за допомогою зв'язків $-\text{O}-\text{A}-\text{O}-$ (див. рис. 2, б). З дев'яти атомів окисигену поліедра AO_9 вісім (четири $\text{O}2$ та чотири $\text{O}3$) належать до того ж блока, що і атоми А, а один атом окисигену ($\text{O}2$) належить до сусіднього блока. Довжина цього міжблочного зв'язку $\text{A}-\text{O}2$ (2,15–2,38 Å) найменша серед усіх зв'язків поліедра AO_9 і наближається до мінімально відомих відстаней $\text{Ln}-\text{O}$ (табл. 2).

Останній факт вказує на неможливість знаходження значно більших, ніж РЗЕ, атомів Ba в позиції 8i між первовськітоподібними блоками та на їх локалізацію (аналогічно ШПС $\text{BaLa}_2\text{In}_2\text{O}_7$ [5]) лише в позиції 4b у великих внутрішньоблоочних пустотах первовськітоподібного блока. Враховуючи недостатню кількість атомів Ba в ШПС $\text{Ba}_{1-x}\text{Sr}_x\text{La}_2\text{In}_2\text{O}_7$ для повного заповнення позиції 4b, а також співвідношення розмірів атомів Ba, Sr та La, можна припустити, що склад внутрішньоблоочного кубооктаедра ШПС $\text{Ba}_{1-x}\text{Sr}_x\text{La}_2\text{In}_2\text{O}_7$ буде близький до формули $(\text{Ba}, \text{Sr})\text{O}_{12}$, проте не виключена можливість також часткового входження до його складу і атомів La.

Одержані дані показали, що заміна атомів Ba на менші за розмірами атоми Sr в тетрагональній (пр. гр. $P4_2/mnm$) ШПС $\text{BaLa}_2\text{In}_2\text{O}_7$ по типу $\text{Ba}_{1-x}\text{Sr}_x\text{La}_2\text{In}_2\text{O}_7$ призводить до пониження симетрії кристалічної гратки до ромбічної (пр. гр. $Fmm\bar{m}$). При цьому відбувається досить істотне зменшення ступеня деформації внутрішньоблоочних поліедрів $\text{A}(1)\text{O}_{12}$ (більш ніж на порядок) та зовнішньоблоочних поліедрів $\text{A}(2)\text{O}_9$ (в 2,5–3 рази), а значення $\Delta\text{A}(1)\text{O}_{12}$ і $\Delta\text{A}(2)\text{O}_9$ для $\text{Ba}_{1-x}\text{Sr}_x\text{La}_2\text{In}_2\text{O}_7$ близькі до таких для $\text{SrLa}_2\text{Sc}_2\text{O}_7$ (пр. гр. $Fmm\bar{m}$) (див. табл. 2).

Аналіз залежностей величин ступеня деформації поліедрів $\text{A}(1)\text{O}_{12}$, $\text{A}(2)\text{O}_9$, InO_6 та довжини зв'язків метал–окисиген від ступеня заміщення атомів Ba на атоми Sr в ШПС $\text{Ba}_{1-x}\text{Sr}_x\text{La}_2\text{In}_2\text{O}_7$ показав, що зі збільшенням значення x відбуваються такі зміни:

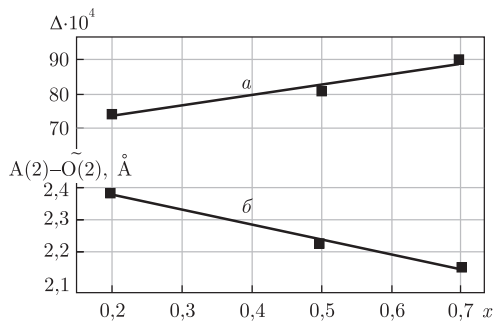


Рис. 3. Залежності ступеня деформації зовнішньоблоочних поліедрів AO_9 в ШПС $\text{Ba}_{1-x}\text{Sr}_x\text{La}_2\text{In}_2\text{O}_7$ (a) та довжини міжблочного зв'язку $\text{A}(2)-\text{O}(2)$ в зовнішньоблоочних поліедрах AO_9 ШПС $\text{Ba}_{1-x}\text{Sr}_x\text{La}_2\text{In}_2\text{O}_7$ (б) від ступеня заміщення атомів Ba (значення x)

- 1) зростає деформація зовнішньоблоочних поліедрів $\text{A}(2)\text{O}_9$ (рис. 3, a);
- 2) зменшується довжина міжблочного зв'язку $\text{A}(2)-\text{O}(2)$ в зовнішньоблоочних поліедрах $\text{A}(2)\text{O}_9$ ШПС $\text{Ba}_{1-x}\text{Sr}_x\text{La}_2\text{In}_2\text{O}_7$ (див. рис. 3, б).

Перша призводить до зростання напруженості в міжблочному просторі ШПС $\text{Ba}_{1-x}\text{Sr}_x\text{La}_2\text{In}_2\text{O}_7$, а друга наближує будову ШПС $\text{Ba}_{1-x}\text{Sr}_x\text{La}_2\text{In}_2\text{O}_7$ до будови тривимірного перовськіту. Кінцевим результатом нарощання дії цих факторів є руйнація ШПС фаз $\text{Ba}_{1-x}\text{Sr}_x\text{La}_2\text{In}_2\text{O}_7$ при $x > 0,75$.

Таким чином, у даній роботі встановлено умови ізовалентного заміщення атомів Ba в ШПС $\text{BaLa}_2\text{In}_2\text{O}_7$ по типу $\text{Ba}_{1-x}\text{Sr}_x\text{La}_2\text{In}_2\text{O}_7$ та методом Рітвельда визначено кристалічну структуру трьох ізовалентно заміщених індатів складу $\text{Ba}_{1-x}\text{Sr}_x\text{La}_2\text{In}_2\text{O}_7$ ($x = 0,2, 0,5$ та $0,7$), проаналізовано особливості будови їх ШПС та встановлено взаємозв'язки склад — будова шаруватої структури, зокрема, виявлено характер впливу вмісту атомів стронцію на ступінь деформації міжблочних поліедрів AO_9 і довжини міжблочних відстаней $-\text{O}-\text{A}-\text{O}-$ в ШПС $\text{Ba}_{1-x}\text{Sr}_x\text{La}_2\text{In}_2\text{O}_7$.

Цитована література

1. Александров К. С., Безносиков Б. В. Перовскиты. Настоящее и будущее. – Новосибирск: Изд-во СО РАН, 2004. – 231 с.
2. Schaaak R. E., Mallouk T. E. Perovskites by design: a toolbox of solid-state reactions // Chem. Mater. – 2002. – **14**, No 4. – P. 1455–1471.
3. Тітов Ю. О., Слободянік М. С., Краєвська Я. А. Кристалохімічні критерії існування сполук і фаз Руддлесена–Поппера типу $\text{A}^{\text{II}}\text{Ln}_n\text{B}_n^{\text{III}}\text{O}_{3n+1}$ // Укр. хим. журн. – 2012. – **78**, № 5. – С. 8–13.
4. Марків В. Я., Белявіна Н. М. Апаратно-програмний комплекс для дослідження полікристалічних речовин за їх дифракційними спектрами // Тези доп. Другої міжнар. конф. "КФМ – 97", 14–16 жовтня 1997 р. – Львів: Вид-во наук. тов-ва ім. Т. Г. Шевченка, 1997. – С. 260–261.
5. Тітов Ю. О., Белявіна Н. М., Марків В. Я., Слободянік М. С., Краєвська Я. А., Ящук В. П. Синтез та кристалічна структура $\text{BaLn}_2\text{In}_2\text{O}_7$ // Доп. НАН України. – 2010. – № 1. – С. 148–154.
6. Тітов Ю. О., Белявіна Н. М., Марків В. Я., Слободянік М. С., Краєвська Я. А., Чумак В. В. Синтез та кристалічна структура шаруватих скандатів $\text{SrLn}_2\text{Sc}_2\text{O}_7$ // Доп. НАН України. – 2009. – № 3. – С. 155–161.
7. Shannon R. D. Revised effective ionic radii and systematic studies of interatomic distances in halides and chalcogenides // Acta Cryst. – 1976. – **A32**, No 5. – P. 751–767.

References

1. *Alexandrov K. S., Beznosikov B. V.* Perovskites. The present and future, Novosibirsk: Publ. SO RAN, 2004 (in Russian).
2. *Schaak R. E., Mallouk T. E.* Chem. Mater., 2002, **14**, No 4: 1455–1471.
3. *Titov Yu. A., Slobodyanik M. S., Krayevska Ya. A.* Ukr. Khim. Zh., 2012, **78**, No 5: 8–13 (in Ukrainian).
4. *Markiv V. Ya., Belyavina N. M.* Proc. of the IIInd Intern. Conf. "KFM-97", Lviv 14–16 October, 1997: 260–261 (in Ukrainian).
5. *Titov Yu. A., Belyavina N. M., Markiv V. Ya., Slobodyanik M. S., Krayevska Ya. A., Yaschuk V. P.* Dopov. NAN Ukraine, 2010, No 1: 148–154 (in Ukrainian).
6. *Titov Yu. A., Belyavina N. M., Markiv V. Ya., Slobodyanik M. S., Krayevska Ya. A., Chumak V. V.* Dopov. NAN Ukraine, 2009, No 3: 155–161 (in Ukrainian).
7. *Shannon R. D.* Acta Cryst., 1976, **A32**, No 5: 751–767.

Надійшло до редакції 06.10.2015

Ю. А. Титов¹, Н. Н. Белявина¹,
член-кореспондент НАН України **Н. С. Слободяник¹, В. В. Чумак²**

¹Київський національний університет ім. Тараса Шевченко

²Житомирський національний університет ім. Івана Франка

E-mail: tit@univ.kiev.ua

Кристаллическая структура изовалентно замещенных слоистых индатов $\text{Ba}_{1-x}\text{Sr}_x\text{La}_2\text{In}_2\text{O}_7$

Установлены условия изовалентного замещения атомов Ba в слоистой перовскитоподобной структуре (СПС) $\text{BaLa}_2\text{In}_2\text{O}_7$ по типу $\text{Ba}_{1-x}\text{Sr}_x\text{La}_2\text{In}_2\text{O}_7$ ($0 \leq x \leq 0,75$). Методом рентгеновской дифракции на порошке определена СПС индатов $\text{Ba}_{1-x}\text{Sr}_x\text{La}_2\text{In}_2\text{O}_7$ ($x = 0,2, 0,5$ и $0,7$). Установлена принадлежность СПС $\text{Ba}_{1-x}\text{Sr}_x\text{La}_2\text{In}_2\text{O}_7$ к структурному типу $\text{SrLa}_2\text{Sc}_2\text{O}_7$ (пр. гр. $Fm\bar{3}m$) и выявлены взаимосвязи состав — строение СПС. Показано, что увеличение содержания стронция в СПС $\text{Ba}_{1-x}\text{Sr}_x\text{La}_2\text{In}_2\text{O}_7$ повышает степень деформации межблочных полигидров AO_9 и уменьшает длину межблочного расстояния $\text{A}(2)-\text{O}(2)$ в СПС $\text{Ba}_{1-x}\text{Sr}_x\text{La}_2\text{In}_2\text{O}_7$.

Ключевые слова: слоистая перовскитоподобная структура, изоморфное замещение, порошковая рентгеновская дифракция.

Yu. A. Titov¹, N. M. Belyavina¹,
Corresponding Member of the NAS of Ukraine **M. S. Slobodyanik¹, V. V Chumak²**

¹Taras Shevchenko National University of Kiev

²Ivan Franko State University of Zhytomyr

E-mail: tit@univ.kiev.ua

Crystal structure of isovalent substituted layered indates $\text{Ba}_{1-x}\text{Sr}_x\text{La}_2\text{In}_2\text{O}_7$

Conditions of isovalent substitution of barium atoms in layered perovskite-like structure (LPS) of $\text{BaLa}_2\text{In}_2\text{O}_7$ by the type $\text{Ba}_{1-x}\text{Sr}_x\text{La}_2\text{In}_2\text{O}_7$ ($0 \leq x \leq 0,75$) are determined. The LPS of indates $\text{Ba}_{1-x}\text{Sr}_x\text{La}_2\text{In}_2\text{O}_7$ ($x = 0,2, 0,5$, and $0,7$) are determined by X-ray powder diffraction. It is found

that the LPS of $\text{Ba}_{1-x}\text{Sr}_x\text{La}_2\text{In}_2\text{O}_7$ belongs to the $\text{SrLn}_2\text{Sc}_2\text{O}_7$ -type structure (sp. gr. Fmmm), and the interrelations composition — constitution of LPS are determined. It is shown that the increase of the strontium content in LPS $\text{Ba}_{1-x}\text{Sr}_x\text{La}_2\text{In}_2\text{O}_7$ increases a degree of deformation of interblock polyhedra AO_9 and decreases the length of the interblock distance A(2)–O(2) in LPS $\text{Ba}_{1-x}\text{Sr}_x\text{La}_2\text{In}_2\text{O}_7$.

Keywords: layered perovskite-like structure, isomorphous substitution, X-ray powder diffraction.